

산지별 석회석의 특성이 시멘트 물성에 미치는 영향

이우용* · 이광식 · 민경소 · 윤호현

<라파즈한라시멘트 R&D팀>

1. 서 론

일반적으로 시멘트 클린커의 화학조성은 CaO(63~67%), SiO₂(21~22%), Al₂O₃(4~7%), Fe₂O₃(2~4%)등 4가지 주성분으로 대표되며 그 외 알칼리, MgO등 소량의 성분들이 약 5% 정도 차지하고 있다. 이들 4가지 주성분 관리는 조합비를 결정하는 Modulus에 따라 결정 되며, 이때 사용되는 원료로는 주로 석회석, 규석질 원료, 철질 원료, 점토질 원료 등이 이용된다. 조합원료의 약 80% 이상을 차지하는 석회석의 광물학적 특징은 클린커의 품질에 매우 중요한 역할을 한다.

시멘트 산업에서 주로 사용되는 석회석 자원은 크게 삼태산층과 풍천층 석회석으로 구분할 수 있는데 본 연구에서는 일반적으로 풍천층에 해당하는 지역의 석회석 9종을 실험대상으로 하였다. 즉 ④지역 3종 (ⓐ,ⓑ,ⓒ), ⑤지역 2종 (ⓓ,ⓔ), ⑥지역 4종 (ⓕ,ⓖ,ⓗ,ⓘ)을 채취하여 석회석 성인에 따른 일반적 특성이 클린커 소성 반응에 미치는 영향에 대하여 연구/조사를 실시하였다.

본 연구는 3단계로 구분하여 진행을 하였으며, 1단계로 산지별 석회석 자체의 일반적 특성, 즉 광물학적/물리화학적 특성을 조사하였고, 2단계로 클린커를 제조하는 과정에서 각 암상별 석회석의 소성 특성을 검토 하였으며, 3단계에서는 당사가 관리하고 있는 Modulus를 기준으로 실험실에서 시멘트를 제조하여 석회석의 소성 특성이 이들 제품의 물리적 특성에 미치는 영향을 조사 하였다.

2. 산지별 석회석의 일반적 특성

2.1 실험방법

산지별 석회석의 광물학적 특성을 관찰하기 위해 약선대가 없는 신선한 면을 절단하고 시편의 두께가 0.03mm가 되도록 연마한 후, 육안으로 색상, 조직 등의 차이가 나는 시편을 각 광구별로 2개씩 선정하여 편광현미경(LEICA DMRX)을 통해 구성광물, 조직, 구조 등을 관찰하였다. 석회석의 피분쇄 특성은 H.G.I 와 실험실 Ball mill 을 이용하여 측정 하였다. 또한 화학분석을 통하여 석회석의 품위 및 미량성분 등을 분석하였다.

2.2 실험결과 및 고찰

2.2.1 화학성분

광구별로 채취한 석회석의 화학분석 결과를 <표 1>에 나타내었다. 채취한 석회석을 편의상 CaO % 기준으로 50% 이상을 고품위, 45%~50%를 중품위, 45%이하를 저품위로 구분하였다. 고품위에 해당하는 석회석은 4종(ⓕ,ⓖ,ⓐ,ⓑ)이었으며, 석회석내 Na₂O, SiO₂는 거의 없었다. 다만, ⓧ 석회석의 경우 SiO₂ 함량이 3.48% 를 함유하고 있었다. 중품위 석회석도 4종(ⓐ,ⓓ,ⓔ,ⓑ)이 해당되었으며, 고품위에 비해 Raw Mix의 소성성 및 분쇄성에 큰 영향을 미치는 SiO₂ 함량이 4.14%~6.99% 로 다양하게 분포하였다. 반면에 저품위에 해당하는 ⓒ석회석의 경우 (CaO: 44.74%) SiO₂의 함량이 8.92%로 9종의 석회석

<표 1> 광구별 석회석 화학분석 결과

-	Ig.loss	SiO ₂	Al ₂ O ₃	Fe ₂ O ₃	CaO	MgO	Na ₂ O	K ₂ O	Total	
고품위	(f)	42.69	-	0.19	0.22	55.69	0.66	-	0.14	99.59
	(g)	43.08	-	0.07	0.16	55.13	0.31	-	0.10	98.85
	(a)	42.32	0.85	0.41	0.28	54.78	0.98	-	0.23	99.85
	(h)	40.70	3.48	1.00	0.53	51.91	1.71	-	0.52	99.85
중품위	(i)	40.18	4.14	1.67	1.17	49.20	3.25	0.01	0.23	99.85
	(d)	39.93	5.46	1.49	0.39	48.97	2.59	0.06	0.63	99.52
	(e)	39.53	6.99	1.97	0.96	47.87	1.85	0.06	0.62	99.85
	(b)	39.92	6.90	1.64	1.07	47.20	2.46	0.10	0.56	99.90
저품위	(c)	38.99	8.92	2.27	0.63	44.74	3.02	0.20	1.08	99.85

주) <표 1>의 분류는 CaO 함량이 높은 순서에 따름

중 가장 높은 함량을 나타냈으며, 알칼리 함량 또한 매우 높게 나타났다.

2.2.2 광물학적 특성

석회석광은 생성시 그 환경에 따라서 매우 다른 특성을 갖는다. 예컨대, 열적/압력에 의한 변성작용시 매우 치밀하고 단단한 석회석이 생성되며, 단층 작용을 받았을 경우 점토질 광물 등의 불순물 혼입이 현저하게 나타나는 등 생성요

인에 따라 나타나는 광물학적인 특성은 매우 다양하다. 이와 같은 생성요인 및 광물학적 특성을 관찰하기 위하여 편광현미경을 이용 각 광구별 석회석을 관찰한 결과 <표 2>와 같이 광물학적 특성을 정리할 수 있었다.

좀 더 세부적으로 지역별 석회석 특성을 살펴보면, ⑨지역 석회석(a,b,c)의 경우 결정형성이 모자이크형의 치밀한 조직 생성이 현저하며, 결정도도 높아 열적/압력 변성작용을 현저하게 받은 것으로 판단된다.

<표 2> 석회석 광구별 광물학적 특성

	본질적 특성		주요미량 성분			결정크기(μm)		
	색상	조직	Quartz	Biotite	기타	Quartz	Calcite	
고품위	(f)	회백색 유백색	치밀화, 괴상	-	-	opq	-	50~3350
	(g)	담회색 회백색	치밀화, 괴상	Tr	-	opq	110~300	70~2150
	(a)	회백색 유백색	결정질, 맥상	<1	-	am, mu, opq	90~580	<10~3010
	(h)	회백색 암회색	치밀화, 괴상	<3	-	li, opq, cl	20~520	20~270
중품위	(i)	담회색 적갈색	치밀화, 괴상	<1	-	li, opq	20~520	20~2870
	(d)	담회색 유백색	괴상	<2	-	li	20~110	30~700
	(e)	담회색 회록색	결정질, 괴상	Tr	<8	ep	20~70	50~800
	(b)	절갈색	결정질, 거대결정	<2	<5	am, fd, li, opq	20~450	100~2900
저품위	(c)	담회색 회백색	결정질, 거대결정	<6	<3	-	20~450	100~2200

Note) fd : feldspar, am : amphibole, mu : muscovite, ep : epidote, cl : clay minerals,
li : limonite, opq : opaque minerals, tr : trace amount (<0.5%)

<표 3> ③지역 석회석 주요 결정입자 Size

-	Calcite (최소~최대, μm)	Quartz (최소~최대, μm)
ⓐ	<10~3,010	90~580
ⓑ	100~2,900	20~450
ⓒ	100~2,200	20~250



a) ⓐ 석회석



b) ⓑ 석회석



c) ⓒ 석회석

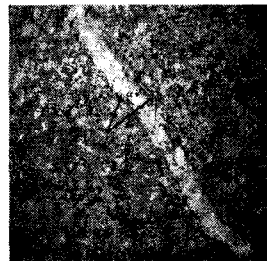
note) cc : calcite, bt : biotite, opq : opaque, am : amphibole

<그림 1> ③지역 석회석 광구별 편광현미경 사진

통계적인 방법에 의한 결정입자의 평균 size는 정확히 측정할 수가 없었으나, ⓑ 및 ⓒ의 경우 대략 Calcite 입자는 $100\mu\text{m}$ 이상의 크기를 갖으며, 육안으로 관찰이 가능한 2.0mm 이상의 입자들도 다수 관찰 되었다. 또한 혼입된 Quartz 입자도 타 지역에 비해 큰 $20\mu\text{m} \sim 450\mu\text{m}$ 범위의 크기를 나타내었으며, 전반적으로 각 결정입자의 size는 ⓑ 석회석이 다소 크다. 그러나 ⓐ 석회석의 경우 조립질과 세립질이 혼재 되어 있으며, 각 관찰시료에 따라 편차가 매우 커 단적으로 Calcite 및 Quartz의 결정입자 size를 거론하기에는 곤란하며, 각 결정입자의 최대 size는 매우 크게 나타났다. ③지역 석회석 주요 결정입자 size 비교를 <표 3>에, 편광현미경 사진을 <그림 1>에 나타내었다.

<표 4> ④지역 석회석 주요 결정입자 Size 비교

-	Calcite (최소~최대, μm)	Quartz (최소~최대, μm)
ⓓ	30~700	20~110
ⓔ	50~800	20~70



a) ⓓ 석회석



b) ⓔ 석회석

note) cc : calcite, bt : biotite, opq : opaque, ep : epidote

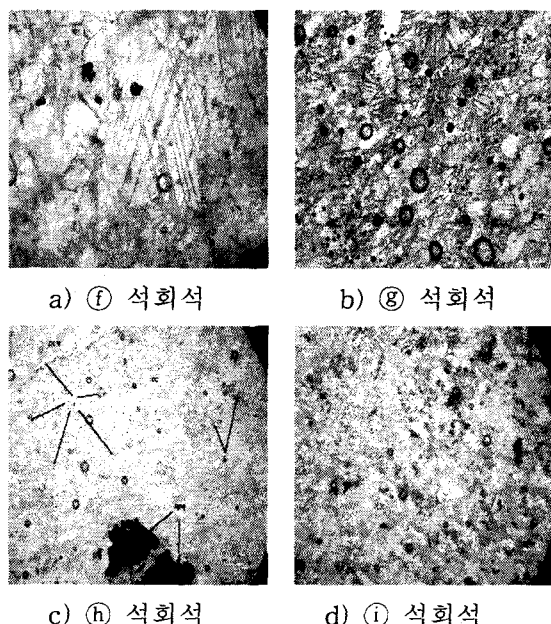
<그림 2> ④지역 석회석 광구별 편광현미경 사진

④지역 석회석(ⓓ,ⓔ)의 경우 세립질의 결정입도를 나타내며, 모자이크 결정조적 보다는 괴상의 형태를 나타낸다. 갈철석, 휘석, 실리카질의 불순광물들의 혼입 또한 현저하며, 특히 ⓔ 석회석의 경우 철질이 다양 혼입되어 있다. 이와 같은 현상으로 판단할 때, ④지역 석회석 광은 생성시 변성작용 및 단층작용이 동시에 영향을 미친 것으로 판단되며, 결정입자 size도 Calcite $30\mu\text{m} \sim 800\mu\text{m}$, Quartz $20\mu\text{m} \sim 110\mu\text{m}$ 정도로 ③지역의 석회석 광구 보다는 작은 수준이다. ④지역 석회석 주요 결정입자 size 비교를 <표 4>에, 편광현미경 사진을 <그림 2>에 나타내었다.

④지역의 경우도 세립질의 결정입도를 나타내며, 조직도 괴상을 이루고 있다. 또한 점토질 및 철질의 불순광물의 혼입이 나타나며, 석회석 광 생성시 Stress에 의한 Micro-crack현상이 관찰되어 변성작용 보다는 단층작용에 의한 영향이 현저한 것으로 판단된다. 이 지역은 광구에 따라 편차는 있으나, 전반적으로 조사한 세 개 지역 중 중간정도의 결정입자 size를 나타내었다. ④지역 석회석 주요 결정입자 size 비교를 <표 5>에, 편광현미경 사진을 <그림 3>에 나타내었다.

<표 5> ④지역 석회석 주요 결정입자 Size

	Calcite (최소~최대, μm)	Quartz (최소~최대, μm)
①	50~3,350	-
②	70~2,150	110~300
③	20~270	20~520
④	20~2,870	20~520



<그림 2> ④지역 석회석 광구별 편광현미경 사진

2.2.3 분쇄특성

앞서 설명한 바와 같이 광물생성 요인에 따라 광물학적 특성 즉, 결정입자의 size 및 조직이 다양하였다. 본 연구에서는 이러한 광물학적 특성이 분쇄특성에 미치는 영향을 관찰하기 위하여 H.G.I 분쇄능과 보다 실 공정에 유사한 분쇄매체를 이용하기 위하여 실험실 Ball mill을 이용하여 잔사를 측정함으로써 H.G.I 분쇄특성과 Mill 분쇄특성을 상호 비교 분석하였다.

먼저, 당사에서 사용하는 분쇄성 지수인 H.G.I를 측정 한 결과를 <표 6>에 나타내었다. 일반적으로, 결정입도가 조립질이며 조직이 모자이크화 한 석회석의 경우 즉, 압력/열적 변성작용을 주로 받은 경우 피분쇄성이 낮은 경향을 보이며 그 대표적인 지역이 ④지역 이었다. 이에 반해 단층작용을 주로 받은 ④지역의 경우 미세립질이며 결정조직도 괴상을 형성하였으며, Micro-crack 발생 등으로 인하여 매우 높은 피분쇄성을 나타냈다.

그러나, ① 석회석의 경우 ④지역에 속하는데도 불구하고 비교적 낮은 분쇄성을 나타내었다. 이는 편광 현미경 관찰결과에서도 조립의 결정입도를 갖으며, 일부 모자이크화 된 조직을 관찰할 수가 있어, ④지역의 일반적인 광구와는 석회석 생성시 환경조건이 다른 것으로 추측된다.

Mill 분쇄특성의 경우 실험실 Ball mill을 이용하여 5분, 10분, 15분 분쇄후 90 μm 잔분량을 비교함으로써 분쇄특성 정도를 판단 하였다. 그 결과를 <표 7>에 나타내었다.

일반적으로 H.G.I 분쇄특성과 Mill 분쇄특성은 동일한 경향을 보이고 있으나, ④ 석회석의 경우 Mill 분쇄특성은 상대적으로 낮은 수준으로 나타

<표 7> 산지별 체취석회석 mill 분쇄특성 결과 (90 μm 잔사, %)

		5분	10분	15분
고품위	①	14.17	8.05	5.87
	②	10.97	7.91	6.14
	③	11.57	7.11	6.59
	④	5.82	4.98	4.41
중품위	⑤	8.54	2.89	2.00
	⑥	10.50	5.37	4.63
	⑦	10.75	8.64	7.26
	⑧	18.62	10.03	6.77
저품위	⑨	15.86	8.69	7.09

<표 6> 산지별 석회석 H. G. I 측정결과

	고 품 위				중 품 위				저 품 위
	①	②	③	④	⑤	⑥	⑦	⑧	
H. G. I	83	96	82	91	91	87	84	63	73

났다. 이러한 이유는 분쇄성이 우수하여 Milling 초기부터 Ball coating 현상이 나타났으며, 이로 인해 Ball cushion 현상이 발생 분쇄가 더디게 진행된 것으로 판단된다.

결론적으로, ⑦지역 석회석(ⓐ,ⓑ,ⓒ)이 H.G.I 및 Mill 분쇄특성이 낮은 수준이었으며, 그 외의 지역은 비교적 양호한 분쇄특성을 나타냈다.

3. 산지별 석회석 이용 클린커의 소성특성

3.1 실험방법

산지별 석회석의 소성 특성을 분석하기 위해 본 연구에서는 두 가지의 서로 다른 분석법이 적용되었다. 첫째 산지별 석회석에 3종의 부원료를 배합하여 동일한 소성 Schedule에 의한 f-CaO함량을 단순 비교하였고, 둘째 보다 현장에 가까운 클린커를 만들기 위해 산지별 석회석에 4종 (Coal ash추가)의 부원료를 배합, 당사의 f-CaO함량 관리기준($1.1 \pm 0.3\%$)을 만족하기 위하여 소성 Schedule의 Holding-time을 조절, 광학현미경을 통한 클린커의 결정상을 비교분석 함으로써 소성 특성을 판단하였다.

배합비에 따라 준비된 조합원료는 당사 소성법에 의거한 소성 Schedule하에서 실험실용 전기로에서 소성후 f-CaO를 측정, 상호간의 단순 비교에 의해 판단하였다.

다음으로 보다 현장과 동일한 조건적용을 위해 산지별 석회석과 앞의 부원료 3종(<표 8> 참조)에 Coal ash를 추가하여 배합 및 소성과정을 거쳤다. 배합과 소성과정에서의 모든 조건들은, 당사 f-CaO 관리 기준인 $1.1 \pm 0.3\%$ 적용을

<표 9> 산지별 석회석 소성 후 f-CaO 함량비교 (단위 : %)

		f-CaO	비고
고품위	(f)	2.13	
	(g)	2.95	
	(a)	1.77	
	(h)	2.20	
중품위	(i)	1.15	
	(d)	2.12	
	(e)	3.67	
	(b)	1.59	
저품위	(c)	5.38	

위한 소성Schedule에서의 최고 소성온도 Holding-time조절을 제외하고는 모두 앞의 실험방법과 동일하게 가져갔다. 단 ⑦석회석의 경우 1450°C 에서 얻고자 하는 결과를 얻을 수 없어 1550°C 에서 Holding-time을 가져가는 예외적인 방법을 택하였다.

3.2 실험결과 및 고찰

3.2.1 동일 소성 schedule에 의한 소성 특성

소성 schedule에 따라 실험실용 전기로에서 소성한 후 측정한 산지별 석회석의 f-CaO 비교를 <표 9>에 나타내었다.

부원료 및 기타 소성성에 미치는 영향인자가 적은 고품위 석회석군에서는 석회석 결정압도 및 미세구조등의 차이로 인하여 Ⓛ>(f)>(h)>(g) 순으로 소성성이 우수하게 나타났다.

중품위 석회석군의 경우 원료배합시 석회석의 품위가 높을수록 석회석 혼합비율이 낮은 경향

<표 8> 부원료 화학분석 결과

-	LOI	SiO ₂	Al ₂ O ₃	Fe ₂ O ₃	CaO	MgO	Na ₂ O	K ₂ O	Total
규석	1.05	88.78	5.22	1.43	0.42	0.30	0.05	1.03	98.28
혈암	4.31	64.76	17.01	7.89	1.19	0.79	0.20	1.99	98.14
Cu-slag	-2.85	34.82	5.14	53.91	4.33	1.09	0.62	0.77	97.83

주) 석회석 화학분석 결과는 <표 1> 참조

을 나타내며, 석회석내 Al_2O_3 의 함량이 낮을수록 비교적 이소성성인 혈암의 혼합비율이 증가하는 경향을 나타낸다.

이러한 원료배합 특성 때문에 석회석 결정입도에 크게 영향을 받은 고품위군과는 다르게 중품위군에서는 소성성 영향인자 중 난소성성 물질인 SiO_2 의 상과 량에 크게 의존하는 것으로 판단이 된다. 즉, 각각의 원료로부터 Raw Mix에 유입되는 SiO_2 의 특성에 따라 소성성에 영향을 미친다.

반면에 저품위 석회석인 ④석회석의 경우 석회석의 결정입도도 크며, 혼입된 불순물의 영향으로 (SiO_2 , Al_2O_3) 원료배합시 이소성성 물질인 혈암의 혼합비율이 타 석회석군에 비해 매우 적으며, 대부분의 SiO_2 를 석회석(58.4% 유입)에서 공급을 받아 소성성이 가장 열악한 수준으로 나타나고 있다.

석회석의 물리화학적 특성은 최종적으로 클린커의 특성을 좌우한다. 결론적으로, 각 석회석의 소성특성 시험결과 조합원료의 소성성에 크게 영향을 미치는 인자는 석회석의 결정입도 및 SiO_2 의 Source가 난소성성 또는 이소성성인 것에 크게 영향을 받고 있음을 알 수 있다. 특히 석회석의 품위가 낮아 질수록 SiO_2 및 Al_2O_3 등의 불순물의 함량이 증가되어 혈암 등 이소성성 물질의 혼합비율이 낮아지게 되고, 결과적으로는 소성성 저하 현상이 나타나게 된다.

3.2.2 동일 f-CaO에 의한 소성 특성

각 Raw-Mix별 소성 최고온도에서의 Holding-time과 그에 따른 f-CaO함량을 아래와 같이 <표 10>에 나타내었다.

위의 소성성 실험에서 나타난 ④, ⑤, ⑥ 석회석의 낮은 소성성은 산지별 석회석의 순수한 소성

특성에서도 동일한 결과를 나타내었다. 각 산지별 석회석을 이용 소성이 완료된 클린커를 광학현미경을 통하여 분석하였다. 먼저 공통적인 특성은 관찰 시료의 대부분이 시멘트의 물리적 특성 중 초기·장기강도 특성을 지배하는 Alite/Belite의 결정량 비율에서 Belite의 결정량이 많이 형성되었으며, 단 ④석회석의 경우는 Belite의 결정량이 극히 소량이었는데 앞에서 언급했듯이 1450°C에서는 f-CaO의 함량을 맞추기 힘든 관계로, 예외적으로 1550°C에서 소성한 것에 기인한다고 판단된다. 또한 석회석의 결정입도와 Alite의 결정Size가 비례하는 경향이었다. 그리고 많은 기공이 관찰되었으며, 모든 클린커의 Belite 분해현상은 전반적으로 양호한 수준이었다.

각 클린커의 비교 분석 결과 석회석의 산지에 따라 결정학적 특징이 유사한 3종으로 나눌 수 있었다. ①, ②, ③ 석회석이 1종으로서 시멘트의 수화반응시 반응성에 영향을 미치는 Alite 및 Belite의 결정 Size에서 20~30 μm 가 대부분을 이루어 상당히 양호하였으며, 시멘트의 물리적 특성에 영향을 미치는 분해현상 및 Size 편차 또한 상당히 양호한 수준이었다. 다음으로 ④와 ⑤ 석회석이 2종으로서 Alite 및 Belite의 결정 Size는 양호한 수준이나 1종에 비해서 다소 큰 편이며, 분해현상은 Belite의 경우는 1종과 비슷하나 Alite의 경우 다소 불량하였다. 마지막으로 ⑥, ⑦, ⑧ 석회석이 3종으로서 타군에 비해서 Alite 및 Belite의 결정 Size가 다소 큰 편이었으며, 분해현상 또한 Alite의 경우 2종과 비슷하거나 다소 심하였고 Belite의 경우는 타군과 대동소이하게 양호한 수준이었으나, 특히 ⑧의 경우 Belite의 분해현상 또한 타군에 비해 많이 열악한 수준이었으며 ⑨의 경우는 그 결정량이 극히 소량인 관계로 Belite의 분해현상에 대해서 언급하기 위해서는 좀 더 자세한 분석이 요구된다.

<표 10> Raw Mix별 소성후 f-CaO 함량

(단위 : %, min)

	고 품 위				중 품 위				저 품 위
	①	②	③	④	⑤	⑥	⑦	⑧	
f-CaO	1.06	1.00	1.06	1.13	1.00	1.15	1.28	1.13	1.35
Holding-time	30	60	30	25	15	25	55	20	90

<표 11> 클린커 결정학적 비교 분석

	고 품 위				중 품 위				저 품 위
	(f)	(g)	(a)	(h)	(i)	(d)	(e)	(b)	(c)
결정량(A/B)	小/多	약小/ 약多	小/多	약小/ 약多	小/多	약小/ 약多	약小/ 약多	약小/ 약多	극小/ 극多
결정Size(A/B)	양호/ 양호	양호/ 양호	양大/ 양호	양호/ 양호	양호/ 양호	약大/ 양호	약大/ 양호	양大/ 양호	大/大
Size편차(A/B)	中/中	大/大	中/中	小/中	大/大	中/中	中/中	大/小	大/大
분해현상(A/B)	양호/ 양호	약분해/ 양호	약분해/ 양호	양호/ 양호	양호/ 양호	약분해/ 양호	약분해/ 양호	약분해/ 양호	약분해/ 양호

Note) A : Alite, B : Belite

결론적으로 클린커의 결정상을 지배하는 요소는 석회석의 품위 보다는 석회석의 광물학적 특성이 더 많이 좌우한다고 판단이 되며, 혼미경 분석 결과를 간략하게 <표 11> 및 <그림 4, 5, 6>에 나타내었다.

성"분석을 위해 현장조건을 적용시켜 만든 클린커를 이용하여 제조한 시멘트를 본 연구의 대상 시료로 하였다.

4.1 실험방법

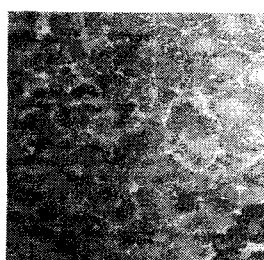
산지별 석회석을 이용 소성한 클린커를 Jaw-Crushing 및 Pulverizing을 통하여 어느 정도 미분쇄 시킨 후 시멘트 내의 SO_3 함량을 당사 관리 기준인 2.3%에 맞게 준비된 화학석고와 혼합

4. 산지별 석회석 이용 시멘트의 물리적 특성

"제3장 산지별 석회석 이용 클린커의 소성 특



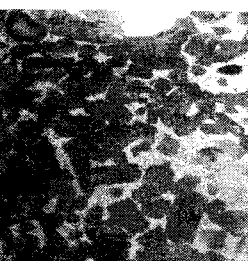
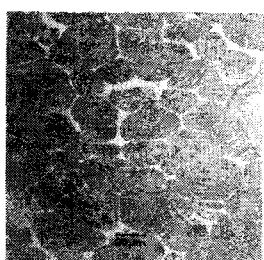
a) ①석회석을 이용한 혼미경 사진



b) ①석회석을 이용한 혼미경 사진

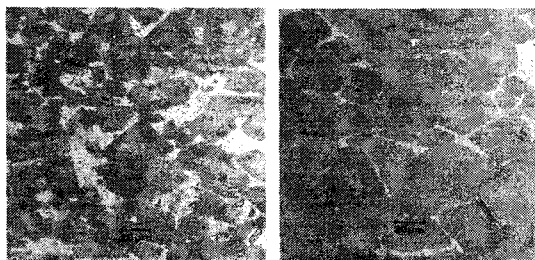


c) ②석회석을 이용한 혼미경 사진

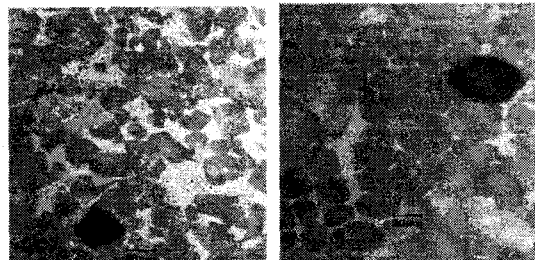


d) ②석회석을 이용한 혼미경 사진

<그림 4> 시멘트 제조용 클린커 혼미경 관찰 사진 (1종)

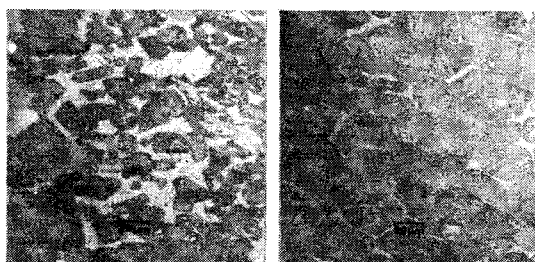


a) ⑩석회석을 이용한 현미경 사진



b) ⑪석회석을 이용한 현미경 사진

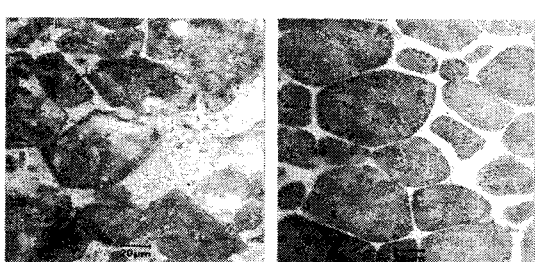
<그림 5> 시멘트 제조용 클린커 현미경 관찰 사진 (2종)



a) ⑫석회석을 이용한 현미경 사진



b) ⑬석회석을 이용한 현미경 사진



c) ⑭석회석을 이용한 현미경 사진

<그림 6> 시멘트 제조용 클린커 현미경 관찰 사진 (3종)

하여 실험실 Ball mill을 이용 Blaine 3350 ± 100 cm^2/g 이 되도록 하여 각 산지별로 3kg씩의 시멘트를 제조하였다.

위와 같이 제조된 시멘트는 Blaine, 잔사 45, $90\mu\text{m}$, 주도, 응결, 안정도, Flow, 압축강도 등 KS규격에 따라 물리적 특성에 대한 분석을 실시하였다.

4.2 실험결과 및 고찰

각 산지별 석회석을 이용하여 소성한 클린커를 시멘트로 제조하여 클린커의 물리적 특성을 분석한 결과 다음과 같은 결과를 얻을 수 있었다. (<표 12> 참조)

우선 시멘트의 여러 물리적 특성에서 가장 중요하게 여겨지는 압축강도에 대해서 먼저 살펴보면, 산지별 석회석에 따른 공통된 경향은 찾을 수 없었지만, 3일 강도에서 클린커의 결정형성이 우수한 ①과 ⑦석회석이 가장 낮은 수준이었으며 결정형성이 다소 불량한 수준이었던 ⑩과 ⑪석회석의 경우가 3일 강도 발현이 우수하게 분석되었다. 7일 강도 또한 3일 강도와 비슷한 양상을 보였다.

그러나 28일 강도를 볼 때 3,7일 강도에서 보이던 패턴에 변화가 나타났다. 우수한 수준의 3,7일 강도를 가지던 ②과 ⑧석회석이 28일 강도를 측정한 결과 상대적으로 많이 떨어진 것을 볼 수 있다. 반면에 3,7일 강도에서 그다지 두각을 나타내지 않던 ⑨, ⑩ 및 ⑪석회석의 경우 28일 강도에 급격한 상승을 가져왔다.

그 외에 ⑩석회석은 3, 7, 28일 강도 모두에서 계속 우수한 수준을 유지하였으며, ①과 ④석회석은 28일 강도에서도 3,7일 강도와 비슷한 양상을 가져왔다. 반면 ⑪석회석의 경우 시간이 지날

<표 12> 산지별 석회석으로 제조한 시멘트의 물리 특성

		Blaine (cm ³ /g)	잔사(%)		주도 (%)	응 결		안정도 (%)	Flow (mm)	압축강도(kg/cm ²)		
			45μm	90μm		초결 (min)	종결 (Hr)			3일	7일	28일
고품위	(f)	3370	20.44	0.74	23.08	390	10:30	0.05	190	152	251	471
	(g)	3432	19.24	0.64	23.00	365	9:45	0.05	193	196	300	513
	(a)	3372	24.34	0.94	22.77	420	11:00	0.04	188	153	251	462
	(h)	3436	23.28	0.94	22.86	330	9:40	0.07	190	156	279	485
중품위	(i)	3279	24.46	1.04	22.77	430	11:10	0.24	188	131	225	419
	(d)	3451	19.38	0.78	23.15	350	9:50	0.14	188	193	299	458
	(e)	3578	21.58	0.78	22.60	345	9:35	0.10	190	211	328	450
	(b)	3490	23.05	1.26	22.90	420	10:30	0.11	185	180	265	433
저품위	(c)	3528	20.07	1.41	23.07	310	8:20	0.57	180	201	340	452

수록 상대적으로 큰 차이는 아니었지만 강도하락을 가져왔다.

잔사의 경우 대체로 45μm와 90μm 잔사 사이에 높은 상관성을 나타냈으나 ⑤ 및 ⑥ 석회석의 경우에는 45μm 대비 90μm 잔사 비율이 월등히 높았다.

주도는 이번 실험결과를 볼 때각 산지별 석회석을 이용하여 제조한 각 시멘트의 주도값은 22.60~23.15%내에 분포하며 뚜렷한 차이를 보이지 않았다.

응결은 전반적으로 초결이 310분~420분 사이에 분포하고 종결은 8시간~11시간 사이에서 분포하는 것을 볼 수 있다. ①, ②, ③, ④ 석회석의 경우 초결 및 종결이 모두 늦었으며, ⑤ 석회석의 경우 상대적으로 빠르게 나타났다.

5. 종합결론

각 산지별 석회석 9종, 즉, ①지역 3종 (②, ③, ④), ⑤지역 2종 (⑤, ⑥), ⑥지역 4종 (⑦, ⑧, ⑨, ⑩)으로 석회석의 일반적인 특성 및 클린커의 소성 특성과 시멘트의 물리적 특성을 비교·분석하였다. 그 결과 아래와 같은 결론을 얻을 수 있었다.

5.1 산지별 석회석의 일반적 특성

1) 산지별 석회석의 광물학적 특성을 조사한 결과, ①지역 석회석은 타 지역에 비해 Calcite 입도가 크며, 치밀한 모자이크 조직이었으며, 혼입된 광물 중 특히, Quartz의 결정크기가 매우 컸다. 특히, ⑥ 석회석의 경우 조립질의 경향이 뚜렷하였다. 반면에 ②, ③ 지역의 석회석의 경우 과상의 미세립질의 Calcite 입도를 나타내었다.

2) H.G.I 및 Ball mill을 이용하여 분쇄특성을 조사한 결과 전반적으로 Calcite 및 Quartz의 결정입도가 큰 ①지역의 석회석이 피분쇄성이 낮은 수준이었으며, 특히 ⑥ 및 ⑦의 피분쇄성이 매우 낮은 수준을 나타내었다. 반면에 미세립질인 ②지역 석회석의 경우 매우 높은 피분쇄성을 나타내었다.

5.2 산지별 석회석 이용 클린커의 소성 특성

1) 소성성 시험결과, 석회석의 결정 입도가 크고, 석회석 및 규석에서의 SiO₂ 유입량이 많을수록 소성성 저하현상이 나타났다. 특히 ①지역

- (b), (c) 석회석의 경우 타 지역에 비해 석회석 내 SiO_2 의 함량이 높고, 비교적 결정입도도 큰 것으로 나타나 소성성 저하 현상을 관찰할 수 있었다.
- 2) 현미경을 통해서 본 클린커의 결정학적인 관점에서 ⑨지역 석회석을 이용하여 소성한 클린커는 결정이 비교적 조대하였으며, Alite 및 Belite의 분해현상 또한 다소 불량한 수준이었다.
- 5.3 산지별 석회석 이용 시멘트의 물리적 특성**
- 1) 압축강도에서는 ⑥과 ⑦석회석이 3,7일강도가 높았으며, ①과 ⑩석회석의 경우 상대적으로 낮은 수준이었다. 28일강도에서는 ⑪, ⑫, ⑬, ⑭, ⑮, ⑯석회석이 급격한 증가를 보였으나, ⑦과 ⑧석회석의 경우 28일강도 발현율이 현저히 떨어지는 것으로 나타났다.
- 2) 시료별 $45\mu\text{m}$ 와 $90\mu\text{m}$ 잔사율 사이에서 높은 상관관계를 나타냈으나, ⑨과 ⑩석회석의 경우 $45\mu\text{m}$ 잔사율 대비 $90\mu\text{m}$ 잔사율이 월등히 높았다. 따라서 ⑨지역 석회석을 사용한 경우 타 석회석에 비해 클린커의 분쇄 특성이 양호하지 않은 것으로 나타났다.
- 3) 용결의 경우 ①, ②, ③, ④, ⑤, ⑥석회석의 경우 초결점 및 종결점이 늦게 나타났으며, 상대적으로 ⑦석회석의 경우 빠른 초결을 나타내었다.